



## شبیه سازی گرمایش از کف گلخانه کلاسیک با روش cfd و بررسی اثر نانو سیال در آن

محمود باغبانیان<sup>۱</sup>، شعبان قوامی جولندان<sup>\*</sup><sup>۲</sup>، سید محمد صفائی الدین اردبیلی<sup>۳</sup>، سید مجید سجادیه<sup>۴</sup>

۱. دانشجوی کارشناسی ارشد گروه مهندسی بیوسیستم دانشگاه شهید چمران اهواز (Baghbanianmahmoud@gmail.com)  
۲. استاد یارگروه مهندسی بیوسیستم دانشگاه شهید چمران اهواز (s.ghavami@scu.ac.ir)  
۳. استاد یارگروه مهندسی بیوسیستم دانشگاه شهید چمران اهواز (m.safieddin@scu.ac.ir)  
۴. استاد یارگروه مهندسی بیوسیستم دانشگاه شهید چمران اهواز (m.sajadiye@scu.ac.ir)

### چکیده

با توجه به افزایش روز افرون استفاده از انرژی و پایان پذیر بودن سوخت های فسیلی در تامین انرژی سیستم های خانگی، صنعتی و کشاورزی، استفاده از نانو سیالات و بهینه سازی سیستم های گرمایشی می تواند جایگزین مناسبی برای سیستم های گرمایشی پر مصرف باشد. از طرفی با عنایت به نیاز مبرم گلخانه به سیستم های گرمایشی و نیز به جهت جلوگیری از تخریب ریشه گیاهان، در این تحقیق از پیکربندی گرمایش از کف و کاربرد نانو سیال برای گلخانه استفاده شده است. به این منظور در گام نخست، هندسه‌ی حجم کنترل یک گلخانه در نرم افزار سالیدورک طراحی و به منظور بررسی شبیه سازی، هندسه‌ی هرمی شکل برای آن در نظر گرفته شد. شرایط مرزی برای سردترین شباهن روز سال با توجه به شرایط محیطی با اندازه گیری داده های دما، رطوبت و جریان هوا استخراج گردید. تحلیل پارامتریک نتایج برای دو نوع نانو سیال آلومینا و دی اکسید تیتانیوم در درصد های حجمی مختلف صورت پذیرفت و تاثیر پارامتر های مذکور بر عدد ناسلت و در جریان گرمایش از کف مورد بررسی قرار گرفت. نتایج نشان داد که نانو سیال آلومینا نسبت به نانو سیال دی اکسید تیتانیوم دارای عدد ناسلت بیشتری بوده و افزایش قطر نانو ذرات تاثیر منفی بر مقدار عدد ناسلت دارد.

### کلمات کلیدی:

شبیه سازی، گلخانه، گرمایش، نانو سیال، CFD

\* شعبان قوامی جولندان

s.ghavami@scu.ac.ir



## شبیه سازی گرمایش از کف گلخانه کلاسیک با روش cfd و بررسی اثر نانو سیال در آن

### مقدمه

مفهومی نانو فناوری علیرغم نوپا بودن آن، توجه بسیاری از پژوهشگران، برنامه ریزان و حتی سیاست گذاران کشورهای پیشرفته و در حال توسعه را به خود جلب کرده است. میکی از زمینه هایی که اخیرا کاربرد نانوفناوری در آن چشمگیر است، انتقال حرارت به کمک نانو مواد می باشد. انتظار می رود که در آینده نانو سیالات به نوع جدیدی از سیالات مورد استفاده در انتقال حرارت پیش فته برای کاربردهای مهندسی تبدیل شود. بیشترین تاثیر نانو سیال در خواص انتقال گرمای آن می باشد [4]. سیال های متداول از جمله آب، اتیلن گلیکول و روغن موتور، ضریب هدایت محدودی دارند لذا استفاده از آنها به تنها در سیستم های صنعتی امروزی که حرارت تولیدی در واحد سطح تجهیزات بسیار افزایش یافته، انتقال حرارت را با مشکل مواجه می کند. نانو سیال ها متشکل از ذرات بسیار ریزی (عموماً کمتر از ۴۰۰ نانومتر) هستند که در سیال پایه پراکنده شده اند. اولین مشاهدات از افزایش هدایت حرارتی سیالات حاوی ذرات جامد با اندازه هی کوچکتر از میکرون، در سال ۱۹۹۳ توسط ماسودا و همکاران گزارش شد [1]. امروزه تحقیقات در زمینه نانو سیالات ابعاد گسترده ای پیدا کرده است. از یکسو محققین در رابطه با افزایش هدایت حرارتی سیالات و افزایش انتقال حرارت، پیگیر ساخت و تهیی نانو سیالات با انواع نانوذرات و نانو لوله ها با توزیع اندازه های مختلف هستند، در حالی که برخی دیگر از محققین به بررسی مسئله پایداری و عدم تهشیین نانوذرات در طی فرآیند انتقال حرارت و عدم کلوخه شدن یا مهاجرت آنها می پردازنند. ایجاد تغییرات در خواص رئولوژیکی سیال پایه با افزودن نانوذرات، بخشی از تلاش های محققین را به بررسی این موضوع معطوف داشته است و این در حالی است که محققین دیگر در حال تهیی و ساخت نانو سیالات هیبریدی پیشرفته، اعم از نانو سیالات پلیمری<sup>۱</sup> و نانو سیالات کاوش دهنده میزان اصطکاک<sup>۲</sup> می باشند [5,6]. پژوهش های انجام شده نشان می دهد که به دلیل بالاتر بودن هدایت حرارتی نانو سیال ها نسبت به سیال های متداول (آب، اتیلن گلیکول و روغن)، امکان استفاده از این سیال ها در کاربردهای حرارتی وجود دارد. انتقال حرارت جابجایی با نانو سیال ها را می توان به کمک روش های تک فازی و دو فازی مدل سازی کرد. در مدل تک فازی فرض بر این است که نانوذرات و فاز سیال در تعادل حرارتی و

<sup>1</sup> Polymer-nanofluids

<sup>2</sup> Drag-Reduction-Nanofluids



هیدرودینامیکی هستند. این مدل‌سازی نسبت به مدل‌سازی دو فازی ساده‌تر و زمان محاسبات در آن کمتر است. بنابراین در بسیاری از تحقیقات تئوری انتقال حرارت جابجایی مورد استفاده قرار گرفته است. در این مدل‌سازی نانوسيال همانند یک سیال معمولی در نظر گرفته شده و معادلات بقای جرم، مومنتوم و انرژی در مورد آنها به کار گرفته می‌شود. تنها اثر نانو ذرات در ضریب هدایت حرارتی و لزجت می‌باشد که به کمک مدل‌های تئوری یا اندازه گیری‌های تجربی در نظر گرفته می‌شوند [2,3]. برای این منظور، لازم است که یک تایید معین از عملکرد چنین سیالی تحت یک محیط جابجایی داشته باشیم. اینها نه تنها برای نشان دادن رفتار جابجایی نانوسيالات مهم است، بلکه تئوری‌های جامع دینامیک سیالات و انتقال حرارت نانوسيالات را ارائه می‌دهد. لذا با توجه به اهمیت موضوع در این پژوهش به کمک روش عددی، گرمایش از کف گلخانه کلاسیک با استفاده از نرم افزار cfd شبیه سازی و مورد بررسی قرار می‌گیرد. چوبکار و همکاران [7] اثر اندازه ذرات را بر روی هدایت حرارتی نانوسيال با سیال پایه آب و اتیلن گلیکول و نانوذرات  $\text{Ag}_2\text{Al}, \text{Al}_2\text{Cu}$  با اندازه‌های مختلف بین ۳۰ تا ۱۲۰ نانومتر را بررسی کردند. برای هر چهار نوع نانوسيال آن‌ها مشاهده کردند که هدایت حرارتی با کاهش اندازه نانوذرات افزایش می‌یابد. یک و همکاران [8] درباره اثر نانو ذرات بر روی هدایت حرارتی، مطالعاتی را روی نانوسيال آب- و اتیلن گلیکول- و با نانوذراتی به قطر ۸ تا ۲۸۲ نانومتر انجام دادند. آن‌ها از روش سیم داغ در دمای اتاق برای اندازه گیری هدایت گرمایی استفاده کردند. آن‌ها مشاهده کردند که با درصد حجمی ثابت نانوذرات، نسبت هدایت حرارتی با کاهش اندازه ذرات افزایش می‌یابد. این اثرات برای نانوسيالاتی با ذرات کوچکتر از ۵۰ نانومتر بیان شده است. میتسا و همکاران [9] ضریب هدایت حرارتی نانوسيال آب-  $\text{Al}_2\text{O}_3$  را اندازه گرفتند. در این تحقیق ذراتی با دو قطر متفاوت ۳۶ و ۴۷ نانومتر استفاده شده است. آن‌ها مشاهده کردند که افزایش هدایت حرارتی برای هر دو نوع نانوذرات و در دمای اتاق نزدیک به هم است. در حالی که در دماهای بالاتر نانوسيال آب-  $\text{Al}_2\text{O}_3$  با نانوذرات کوچکتر افزایش بیشتری را در هدایت حرارتی نشان می‌دهد. ژی و همکاران [10] هدایت گرمایی نانوسيالات آب-  $\text{SiC}$  را با دو نوع از نانوذرات، کروی با قطر متوسط ۲۶ نانومتر و لوله‌ای با قطر متوسط ۶۰۰ نانومتر را مورد بررسی قرار دادند و دریافتند که ۴,۲ درصد حجمی از نانوذرات کروی در سیال پایه باعث افزایش ۱۵,۸ درصدی هدایت حرارتی می‌شود. در حالی که نانوسيال با ۴ درصد حجمی نانوذرات لوله‌ای باعث افزایش ۲۲,۹ درصدی هدایت حرارتی می‌شود. همانطوری که با دقت در مطالعات پیشین مشاهده می‌شود، در هیچ یک از این مطالعات، تحلیل عددی تاثیر استفاده از گرمایش از کف حامل نانوسيال آلومینا و دی‌اکسید تیتانیوم برای فصول سرد و تحلیل جامع و پارامتریک سیستم گرمایش اجرا نشده است و در این تحقیق به این موضوع پرداخته خواهد شد.



## مواد و روش ها

تحلیل و شبیه‌سازی گلخانه‌ی هر می‌شکل بر مبنای دینامیکی سیالات محاسباتی سه بعدی به منظور بررسی تاثیر هر یک از نانوسیالات بر رفتار سیالاتی و انتقال حرارتی گلخانه اجرا شده است. روند تحلیل در نرم افزار فلوئنت به این ترتیب است که معادلات ناویر استوکس مستقل از زمان و فرمولاسیون مدل آشفتگی در جریان به صورت اجزای محدود حل می‌شوند. به منظور ارزیابی میدان فشار، الگوریتم کوبیل شده‌ی بین سرعت-SIMPLE<sup>۳</sup> انتخاب شده است. در مجرای ورودی گلخانه، پروفیل سرعت یکنواخت در نظر گرفته می‌شود. ضربی اصطکاک جریان در مقطع گرمایش از کف  $f$  از طریق افت فشار  $\Delta P$  در طول مقطع  $L$ ، با قطر هیدرولیکی  $D_h$  از رابطه‌ی زیر قابل حصول است:

$$f = \frac{\Delta P}{0.5 \rho u^2} \frac{L}{D_h} \quad (1)$$

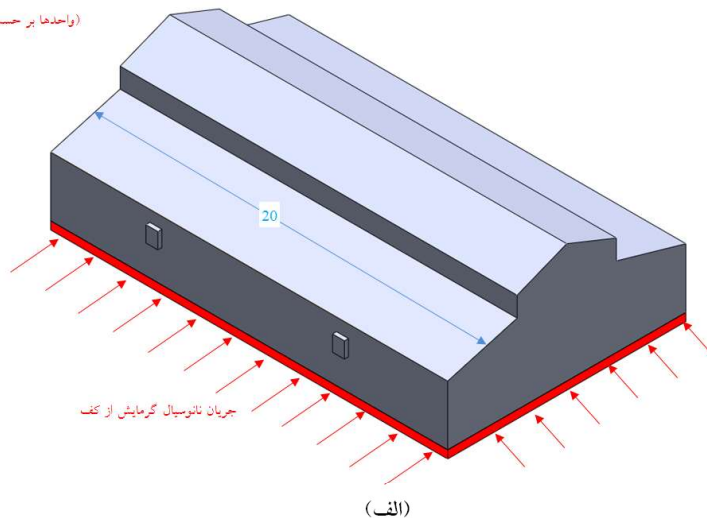
عدد ناسلت میانگین نیز عبارت از:

$$Nu = \frac{h D_h}{k_f} \quad (2)$$

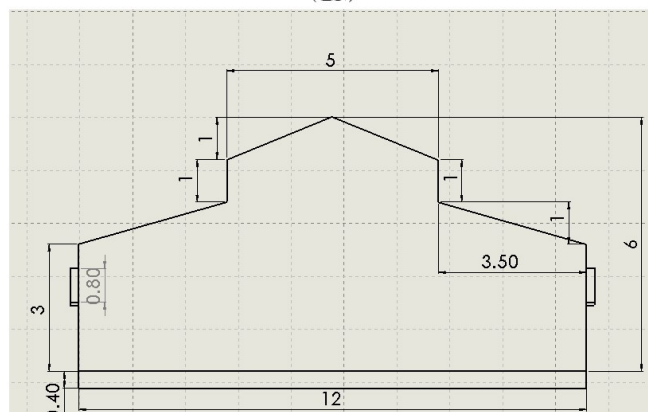
شکل ۱، ترسیمی از طراحی و ابعاد گلخانه‌ی هر می‌شکل کلاسیک در نرم افزار Solid works است. از آنجا که مطابق با مطالعات پیشین که در بالا ارائه شد، تحلیل دمای لوله‌ی حامل جریان نانوسیال بر ضربی اعمکرد سیستم‌های مختلف تاثیر داشته است، افزایش دمای خروجی سیال  $C$  (که در واقع مقارن با افزایش عدد ناسلت کانال  $Nu$  می‌باشد) به عنوان هدف اول طراحی انتخاب شده است. برای حصول نقاط طراحی در مسائل مرتبط با تحلیل پارامتریک، نیاز به تحلیل اجزای محدود جریان در گلخانه خواهد بود. مطابق با شکل ۱، هندسه در نرم افزار Solid works ترسیم و طبق روال شبیه‌سازی، در نرم افزار انسیس فلوئنت شبیه‌سازی شده است (اشکال ۲ و ۳). در ورودی گلخانه، جریان با سرعت یکنواخت و دمای ثابت ۳۱۳ درجه‌ی کلوین (۴۰ درجه‌ی سانتیگراد) وارد کانال می‌شود. طول گلخانه به اندازه‌ی کافی طولانی است و شرایط خروجی به طور کامل توسعه یافته است و مشتقات محوری در آن صفر در نظر گرفته می‌شود. قسمت سقف گلخانه تحت شار تابشی خورشیدی ۹۰۰ وات بر متر مربع قرار گرفته است.

<sup>۳</sup> Semi Implicit Method for Pressure Linked Equations

(واحدها بر حسب متر)

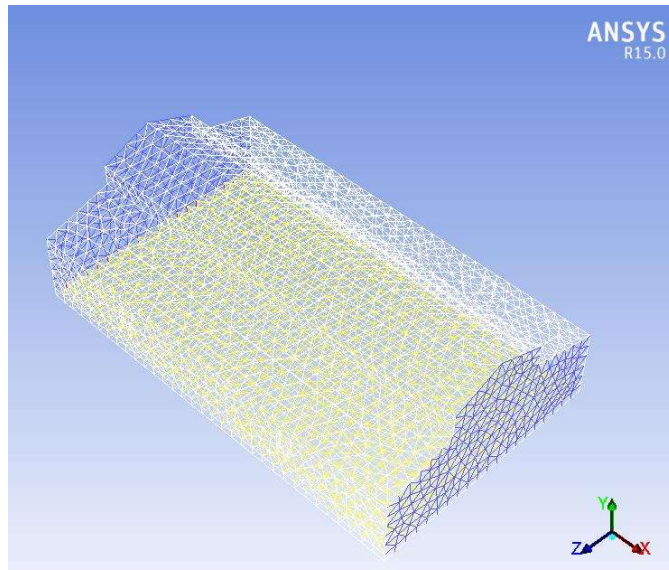


(الف)

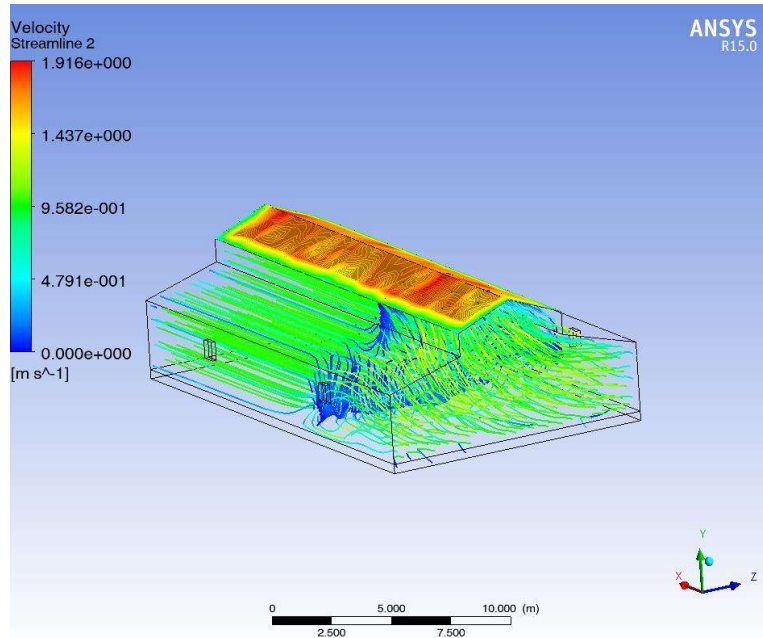


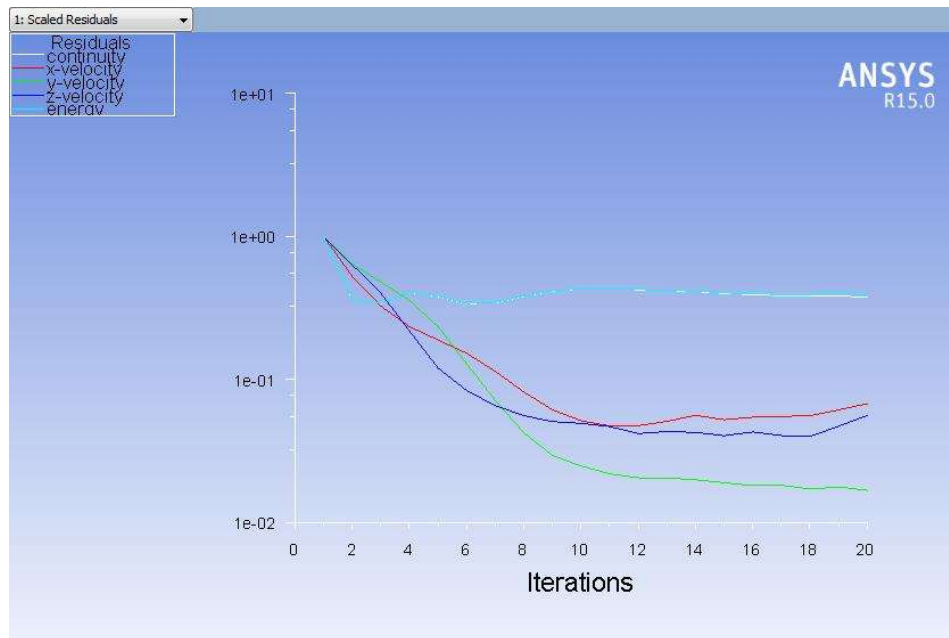
(ب)

شکل ۱ - (الف) طراحی، (ب) ابعاد گلخانه‌ی هرمی شکل کلاسیک در نرم‌افزار Solid works



شکل ۲- مدل مشبندی شده‌ی گلخانه‌ی هرمی‌شکل در نرم‌افزار انسیس فلوئنت

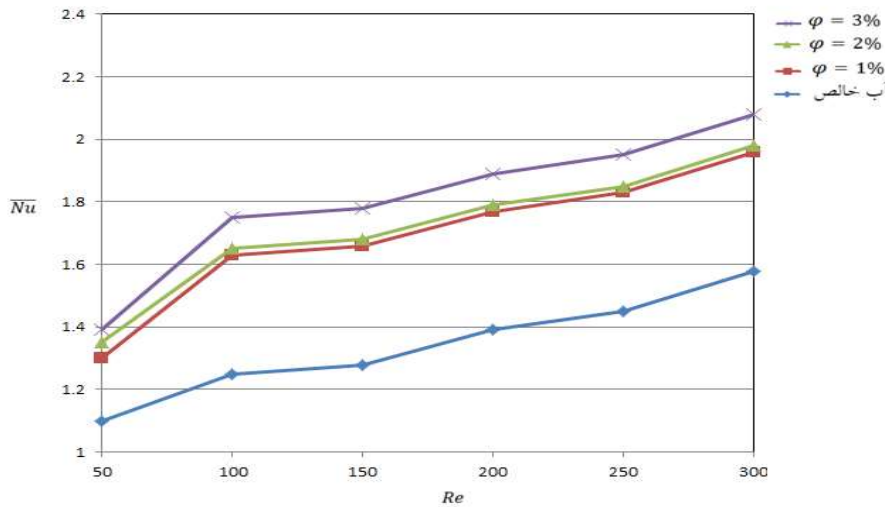




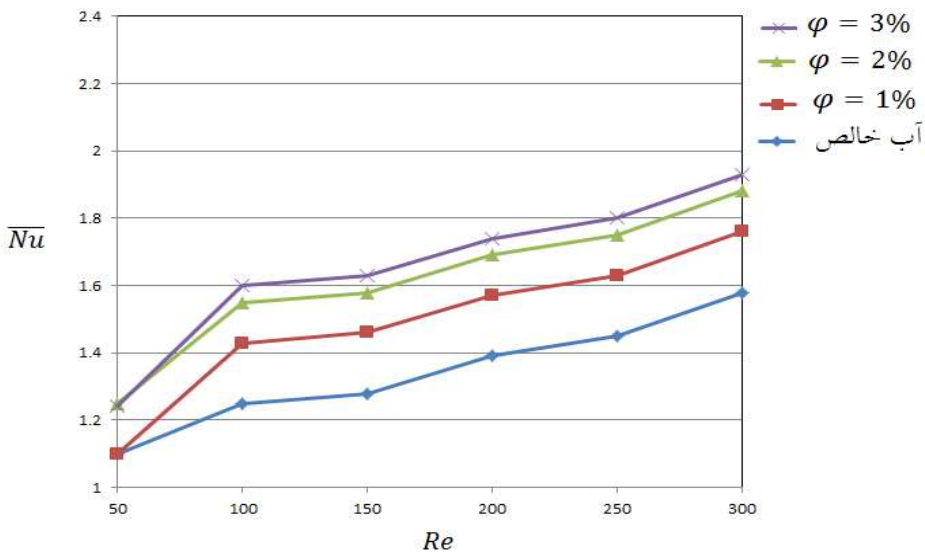
شکل ۳- تحلیل CFD جریان گرمایش از کف گلخانه‌ی هرمی شکل در نرم‌افزار انسیس فلوئنت

## نتایج و بحث

در ابتدا لازم به توضیح است که در پژوهش حاضر از مدل تک فازی برای حل جریان نانوسیال استفاده می‌شود. بنابراین معادلات حاکم همانند جریان سیالات متداول است. برای جریان پایا که خواص فیزیکی سیال تابع دما است، معادله بقا جرم، بقا مومنت و انرژی به صورت جریان تک فازی خواهد بود. در اشکال ۴ و ۵، تغییرات عدد ناسلت در درصدهای حجمی مختلف بر حسب عدد رینولز در گرمایش از کف گلخانه‌ی هرمی شکل ترسیم شده است. با تحلیل شکل مشاهده می‌شود که افزایش عدد رینولز در کلیه‌ی درصدهای حجمی، افزایش عدد ناسلت را در پی دارد. همچنین نانوسیال آلومینا نسبت به نانوسیال دی‌اکسید تیتانیوم دارای عدد ناسلت بیشتری خواهد بود. از طرفی در هر دو نانوسیال با فرض ثابت بودن دمای ورودی  $40^\circ\text{C}$  درجه‌ی سانتیگراد و قطر نانوذرات  $5\text{ }\mu\text{m}$ ، با افزایش درصد حجمی ذرات در رینولز ثابت، عدد ناسلت نیز افزایش خواهد داشت. به عنوان مثال در عدد رینولز  $100$  با افزایش درصد حجمی  $1$  درصدی به آب خالص، برای نانوسیال آلومینا، عدد ناسلت  $1/2$  برابر و برای نانوسیال دی‌اکسید تیتانیوم  $1/25$  برابر خواهد شد.



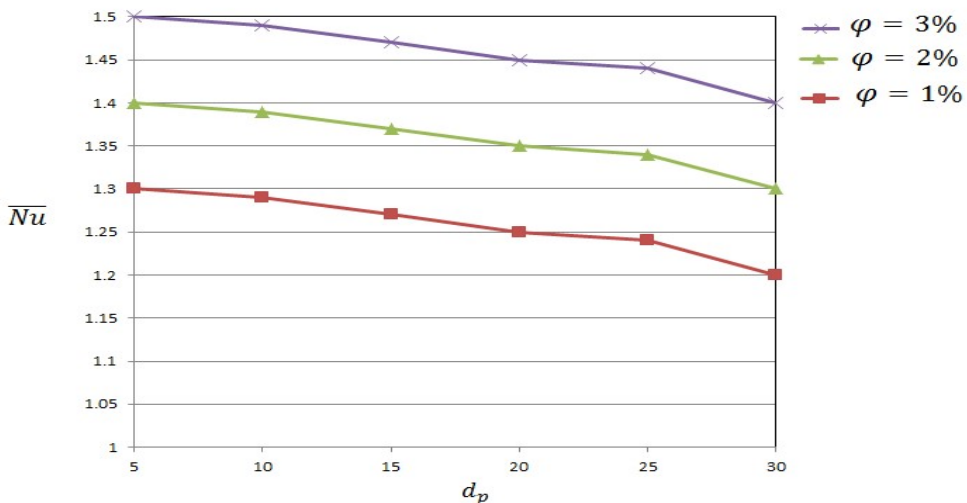
شکل ۴- نمودار تغییرات عدد ناسلت متوسط نانوسيال آلومينا بر حسب عدد رینولدز در درصدهای حجمی متفاوت در دمای ورودی ۴۰ درجه‌ی سانتیگراد و قطر ذرات ۵ نانومتر



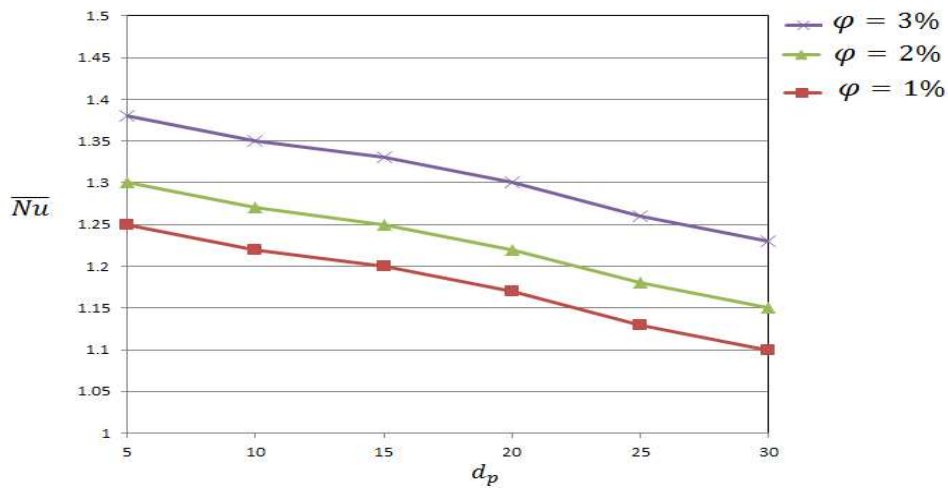
شکل ۵- نمودار تغییرات عدد ناسلت متوسط نانوسيال دی اکسید تیتانیوم بر حسب عدد رینولدز در درصدهای حجمی متفاوت در دمای ورودی ۴۰ درجه‌ی سانتیگراد و قطر ذرات ۵ نانومتر

در اشکال ۶ و ۷ ، ترسیمی از تاثیر قطر نانوذرات در درصدهای حجمی مختلف بر عدد ناسلت در دمای ورودی ۴۰ درجه‌ی سانتیگراد و رینولدز ۱۰۰ برای گرمایش از کف گلخانه‌ی هرمی شکل ترسیم شده است. نتایج نشان می‌دهد با افزایش قطر نانوذرات، عدد ناسلت برای هر دو نانوسيال آلومينا و دی اکسید تیتانیوم کاهش خواهد یافت که این کاهش برای نانوسيال دی اکسید تیتانیوم بیشتر است. بنظر می‌رسد افزایش قطر نانوذرات که کاهش ضریب اختلاط بین دو نانوذرات و سیال پایه را در پی خواهد داشت، عامل کاهش عدد ناسلت در این تحلیل شده

است که این عدم اختلاط در نانوذرات تیتانیوم شدیدتر می‌باشد. از طرفی در قطر نانوذرات ثابت، با افزایش درصد حجمی نانوذرات، عدد ناسلت افزایش می‌یابد.



شکل ۶- نمودار تغییرات عدد ناسلت متوسط نانوسيال بر حسب ابعاد نانوذرات آلومينا در درصدهای حجمی متفاوت ناسلت در دمای ورودی ۴۰ درجه سانتیگراد و رینولذ ۱۰۰



شکل ۷- نمودار تغییرات عدد ناسلت متوسط نانوسيال بر حسب ابعاد نانوذرات دیاکسید تیتانیوم در درصدهای حجمی متفاوت ناسلت در دمای ورودی ۴۰ درجه سانتیگراد و رینولذ ۱۰۰

### نتیجه گیری

با توجه به قابلیت‌ها و مدل‌های موجود برای شبیه‌سازی جریان در گرمایش از کف گلخانه‌ی هرمی شکل، پروفیل فشار غیرخطی و میدان‌های سرعت مختلف در نرم‌افزار انسیس فلوئنت، با دقت قابل قبولی بصورت عددی شبیه‌سازی شد و نتایج نشان داد که نانوسيال

آلومینا نسبت به نانو سیال دی اکسید تیتانیوم دارای عدد ناسلت بیشتری در گرمایش از کف گلخانه هرمه شکل خواهد بود و همچنین افزایش قطر نانو ذرات تاثیر منفی بر مقدار عدد ناسلت داشته است.

#### پیشنهادات

ارائه‌ی یک برنامه‌ی جدید به زبان MATLAB یا APDL برای بهینه‌سازی هندسه‌ی گرمایش از کف گلخانه هرمه بررسی‌های عملی و تست آزمایشگاهی به منظور توسعه‌ی طراحی و تحلیل جریان در گرمایش از کف گلخانه هرمه با هندسه‌ی جدید.

#### منابع

1. H., Masuda, A., Ebada, K., Teramae, N., Hishinuma, Alternation of thermal conductivity and viscosity of liquid by dispersion Ultra-Fine particles Netsu Bussei, 7- 4, (1993) 227-233.
2. R., Jou, S., Tzeng, Numerical research of nature convective heat transfer enhancement filled with nanofluids in rectangular in enclosure International Communication in Heat and Mass Transfer, 33 (2006) 727-736.
3. H. A., Pakravan, M., Yaghoubi, Analysis of nanoparticles migration on natural convection heat transfer of nanofluids International journal of Thermal Science, 68 (2013) 79-93.
4. D. Kim, Y. Kwon, Y. Cho, C. Li, S. Cheong, Y. Hwang, J. Lee, D. Hong, S. Moon, Convective heat transfer characteristics of nanofluids under laminar and turbulent flow conditions, *Current Applied Physics*, Vol. 9, No. 2, pp. e119-e123, 2009.
5. Syam Sundar L, Hashim Farooky M, Naga Sarada S, Singh M.K., Experimental thermal conductivity of ethylene glycol and water mixture based low volume concentration of Al<sub>2</sub>O<sub>3</sub> and CuO nanofluids, Int. Commun. Heat Mass Transfer, vol. 41, 2013, pp. 41–46.
6. N. Kannadasan, K. Ramanathan, S. Suresh, Comparison of heat transfer and pressure drop in horizontal and vertical helically coiled heat exchanger with CuO/water based nano fluids, *Experimental Thermal and Fluid Science*, Vol. 42, pp. 64-70, 2012.
7. Chopkar, M., Sudarshan, S., Das, P., and Manna, I., 2008, “Effect of Particle Size on Thermal Conductivity of Nanofluid,” Metall. Mater. Trans. A, 39(7), pp. 1535-1542.
8. Beck, M., Yuan, Y., Warrier, P., and Teja, A., 2009, “The Effect of Particle Size on the Thermal Conductivity of Alumina Nanofluids,” J. Nanopart. Res., 11(5), pp. 1129-1136.
9. Mintsa, H. A., Roy, G., Nguyen, C. T., and Doucet, D., 2009, “New Temperature Dependent Thermal Conductivity Data for Water-Base Nanofluids,” Int. J. Therm. Sci., 48(2), pp. 363-371.
10. Xie, H., Wang, J., Xi, T., and Liu, Y., 2002, “Thermal Conductivity of Suspensions Containing Nanosized SiC Particles,” Int. J Thermophys. , 23(2), pp. 571-580.

## Simulation of heating from a classic greenhouse floor by cfd method and investigation of the effect of nanofluid on it

Mahmoud Baghbanian<sup>1</sup>, Shaban Ghavami Jolandan \*<sup>2</sup>, Seyed Mohammad Safieddin Ardebili<sup>3</sup>, Seyed Majid Sajadiye<sup>4</sup>

1. MSc student of Mechanics of Biosystem Engineering, Department of Biosystem Engineering, Shahid Chamran University of Ahvaz, Ahvaz.

2,3,4. Assistant Professor, Department of Biosystems Engineering, Shahid Chamran University of Ahvaz, Ahvaz

### Abstract

Due to the increasing use of energy and the flexibility of fossil fuels in the energy supply of domestic, industrial and agricultural systems, the use of Nano-fluids and optimization of heating systems can be a good alternative to high-consumption heating systems. On the other hand, considering the urgent need of the greenhouse for heating systems and also to prevent the destruction of plant roots, in this research, underfloor heating configuration and application of Nano-fluid for the greenhouse has been used. For this purpose, in the first step, the geometry of the control volume of a greenhouse was designed in SolidWorks software and In order to study the simulation, the pyramidal geometry of the figure was considered for it. Boundary conditions for the coldest day and night of the year were extracted according to environmental conditions by measuring temperature, humidity and air flow data. The results were analyzed for two types of alumina and titanium dioxide Nano-fluids in different volume percentages and the effect of these parameters on the Nusselt number and underfloor heating was investigated. The results showed that alumina Nano-fluid had a higher Nusselt number than titanium dioxide Nano-fluid and increasing the nanoparticle diameter had a negative effect on the Nusselt number.

**Key words:** simulation, Greenhouse, Heating, Nano-fluid, CFD

\* Shaban Ghavami Jolandan  
E-mail: s.ghavami@scu.ac.ir